

SIMULAÇÃO ANALÍTICA UNIDIMENSIONAL DA DISPERSÃO DE POLUENTES CONSIDERANDO O FLUXO CONTRA-GRADIENTE

VILIAM CARDOSO DA SILVEIRA¹; LUCAS TADEO²; LUCAS DA COSTA BERNA³; DANIELA BUSKE⁴

¹*Universidade Federal de Pelotas - viliamcardoso2@gmail.com*

²*Universidade Federal de Pelotas - lucas1tadeo@gmail.com*

³*Universidade Federal de Pelotas - lucas.berna@hotmail.com*

⁴*Universidade Federal de Pelotas - danielabuske@gmail.com*

1. INTRODUÇÃO

A preservação da qualidade do ar é um tópico que vem crescendo muito ao longo dos anos. A emissão de poluentes tem aumentando consideravelmente com o desenvolvimento industrial, ocasionando severos danos à qualidade do ar.

Diversos estudos já foram desenvolvidos para estudar a dispersão de poluentes na atmosfera considerando a equação da advecção-difusão em diversas condições de estabilidade atmosférica e utilizando a técnica GILTT (Generalized Integral Laplace transform Technique). A inovação desse trabalho é considerar a equação da difusão na sua forma mais simples, uma vez que o problema unidimensional com fechamento não local da turbulência ainda não foi resolvido pela técnica GILTT.

Neste trabalho será avaliada a dispersão de poluentes na atmosfera, considerando a equação da difusão transiente unidimensional e o termo de fechamento não local da turbulência. Essa equação será resolvida pela técnica da transformada integral generalizada com solução analítica do problema transformado por transformada de Laplace (GILTT). Para validar a metodologia serão consideradas condições atmosféricas instáveis para avaliar o termo de variação não local da turbulência.

Buligon et al., 2006 apresentaram uma solução semi-analítica para calcular a dispersão de poluentes na atmosfera utilizando a equação do telegrafo e fluxo contra-gradiente. Assim, neste trabalho vamos fazer algo similar mas de forma analítica e utilizando a técnica GILTT.

2. METODOLOGIA

A equação transiente da difusão unidimensional pode ser escrita como:

$$\frac{\partial \bar{c}(z, t)}{\partial t} = - \frac{\partial \bar{w}' \bar{c}'}{\partial z}, \quad (1)$$

sendo $\bar{c}(z, t)$ a concentração média de poluentes (g/m^3) e $\bar{w}' \bar{c}'$ o fluxo turbulento de contaminantes na vertical ($g/s m^2$). A Eq. (1) apresenta duas variáveis desconhecidas, a concentração média e o fluxo turbulento, por isso essa equação não pode ser resolvida diretamente, levando ao chamado problema de fechamento da turbulência.

A equação do fluxo turbulento dependente do tempo pode ser escrita como:

$$\left(1 + \left(\frac{S_k \sigma_w T_{lw}}{2}\right) \frac{\partial}{\partial z} + \tau \frac{\partial}{\partial t}\right) \bar{w}' \bar{c}' = -K_z \frac{\partial \bar{c}(z, t)}{\partial z}, \quad (2)$$



sendo S_k o coeficiente de assimetria, σ_w o desvio padrão da velocidade turbulenta vertical (m/s), T_{lw} a escala de tempo Lagrangeana (s), τ o tempo de relaxação (s) e K_z o coeficiente de difusão (m^2/s). Pode-se definir o termo de contra-gradiente (β) como $\beta = (S_k \sigma_w T_{lw})/2$. Assim, a Eq. 2 pode ser escrita como:

$$\left(1 + \beta \frac{\partial}{\partial z} + \tau \frac{\partial}{\partial t}\right) \overline{w' c'} = -K_z \frac{\partial \bar{c}(z, t)}{\partial z}. \quad (3)$$

Substituindo a Eq. (3) na Eq. (1), pode-se escrever a seguinte equação:

$$\frac{\partial \bar{c}(z, t)}{\partial t} = -\frac{\partial}{\partial z} \left(\beta \frac{\partial \bar{c}(z, t)}{\partial t} \right) + \frac{\partial}{\partial z} \left(K_z \frac{\partial \bar{c}(z, t)}{\partial z} \right) + \frac{\partial}{\partial z} \left(\tau \frac{\overline{w' c'}}{\partial t} \right). \quad (4)$$

A Eq. (4) esta sujeita as condições de contorno de fluxo zero ($K_z \frac{\partial \bar{c}(z, t)}{\partial z} = 0$) no solo ($z = 0$) e no topo da camada limite convectiva ($z = h$) e condição de fonte dada por: $\bar{c}(z, 0) = Q\delta(z - H_s)$, sendo Q a intensidade da fonte (g/s), δ a função delta de Dirac e H_s a altura da fonte (m).

Pelo teorema de Cauchy-Euler e pela Eq. (1) pode-se escrever a seguinte equação:

$$\tau \frac{\partial^2 \bar{c}(z, t)}{\partial t^2} + \frac{\partial \bar{c}(z, t)}{\partial t} = K_z \frac{\partial^2 \bar{c}(z, t)}{\partial z^2} + K_z' \frac{\partial \bar{c}(z, t)}{\partial z} - \beta \frac{\partial^2 \bar{c}(z, t)}{\partial z \partial t} - \beta' \frac{\partial \bar{c}(z, t)}{\partial t}. \quad (5)$$

Aplicando a técnica da transformada integral na variável z , expande-se a concentração de poluentes como

$$\bar{c}(z, t) = \sum_{i=0}^{\infty} \bar{c}_i(t) \Psi_i(z). \quad (6)$$

Substituindo a Eq. (6) na Eq. (5), utilizando um problema auxiliar de Sturm-Liouville $[\Psi_i''(z) + \lambda_i^2 \Psi_i(z) = 0]$ em $0 < z < h$, com $\Psi_i(z) = \cos(\lambda_i z)$ sendo $\lambda_i = \frac{i\pi}{h}$ ($i = 0, 1, 2, \dots$) o conjunto de autovalores e multiplicando pelo operador integral $\int_0^h (\cdot) \Psi_j(z) dz$, pode-se escrever:

$$\begin{aligned} & \sum_{i=0}^{\infty} \bar{c}_i''(t) \int_0^h \tau \Psi_i(z) \Psi_j(z) dz + \sum_{i=0}^{\infty} \bar{c}_i(t) \int_0^h \Psi_i(z) \Psi_j(z) dz \\ &= - \sum_{i=0}^{\infty} \bar{c}_i(t) \lambda_i^2 \int_0^h K_z \Psi_i(z) \Psi_j(z) dz + \sum_{i=0}^{\infty} \bar{c}_i(t) \int_0^h K_z' \Psi_i'(z) \Psi_j(z) dz \\ & - \sum_{i=0}^{\infty} \bar{c}_i(t) \int_0^h \beta \Psi_i'(z) \Psi_j(z) dz - \sum_{i=0}^{\infty} \bar{c}_i(t) \int_0^h \beta' \Psi_i(z) \Psi_j(z) dz. \end{aligned} \quad (7)$$

Reescrevendo a Eq. (7) em notação matricial tem-se

$$Y''(t) + FY'(t) + GY(t) = 0, \quad (8)$$

onde $Y(t)$ é o vetor coluna cujas componentes são $\bar{c}_i(t)$. A matriz F é dada por $F = C^{-1} \cdot B$ e a matriz G é dada por $G = C^{-1} \cdot A$. As matrizes C , B e A são dadas respectivamente por

$$\begin{aligned} C_{i,j} &= \int_0^h \tau \Psi_i(z) \Psi_j(z) dz, \\ B_{i,j} &= \int_0^h \Psi_i(z) \Psi_j(z) dz + \int_0^h \beta \Psi_i'(z) \Psi_j(z) dz + \int_0^h \beta' \Psi_i(z) \Psi_j(z) dz, \\ A_{i,j} &= \lambda_i^2 \int_0^h K_z \Psi_i(z) \Psi_j(z) dz - \int_0^h K_z' \Psi_i'(z) \Psi_j(z) dz. \end{aligned}$$

Aplicando uma redução de ordem na Eq. (8) e considerando $Z_1(t) = Y(t)$ e $Z_2(t) = Y'(t)$, pode-se escrever a seguinte EDO na forma matricial



$$Z'(t) + H \cdot Z(t) = 0, \quad (9)$$

no qual o vetor $Z(t)$ é dado por $Z(t) = \begin{bmatrix} Z_1(t) \\ Z_2(t) \end{bmatrix}$ e a matriz H tem a forma de bloco dada por $H = \begin{bmatrix} 0 & -I \\ G & F \end{bmatrix}$.

A Eq. (9) é resolvida pela Técnica da Transformada de Laplace e diagonalização (BUSKE et al., 2012).

3. RESULTADOS E DISCUSSÃO

Para validar o modelo, foram utilizados dados do experimento 8 de Copenhagen (GRYNING e LYCK, 1984). A altura da camada limite convectiva é $z_i = 810\text{ m}$, a velocidade convectiva é $w_* = 2,2\text{ m/s}$. As simulações foram realizadas para o período de tempo de 1 h. O tempo de relaxação considerado é de $\tau = 0,5\text{ s}$ e a taxa de emissão da fonte de $Q = 100\text{ g/s}$. Foram feitas simulações nas alturas de 1 e 750 m em duas alturas de fonte $H_s = 25\text{ m}$ e $H_s = 305\text{ m}$. A concentração adimensional é dada por $C^* = (C z_i)/Q$, o tempo adimensional é dado por $t^* = (t w_*)/z_i$, a altura adimensional é dada por $z^* = z/z_i$ e a altura da fonte adimensional é dada por $H_s^* = H_s/z_i$.

A Figura 1 mostra a simulação da concentração de poluentes em função do tempo na altura $z = 1\text{ m}$ e a Figura 2 mostra a simulação da concentração de poluentes na altura $z = 750\text{ m}$ para diferentes valores do coeficiente de assimetria.

Através da Figura 1 observa-se que para alturas próximas do solo, a concentração de poluentes para pequenos tempos de viagem é maior à medida que a altura da fonte é diminuída e os intervalos onde ocorrem os valores máximos de concentração também diminuem. A concentração de poluentes mais elevada foi obtida para fonte mais baixa e é a onde foi observada a menor influência do coeficiente de assimetria. Para as três alturas de fontes analisadas, a concentração de poluentes tende a homogeneizar-se conforme o tempo passa.

Para alturas próximas do topo da camada limite convectiva (Figura 2), o coeficiente de assimetria não influenciou nos valores máximos de concentração como para o caso de alturas próximas do solo (Figura 1). A concentração de poluentes tende a homogeneizar-se na concentração máxima. Quanto mais alta é a fonte, mais rápido ocorre a homogeneização da concentração. Conforme a altura da fonte diminui, aumenta a influência do coeficiente de assimetria.

Os resultados obtidos neste trabalho utilizando a técnica da transformada integral e o fechamento não local da turbulência para resolver a equação da difusão unidimensional estão de acordo com outros resultados obtidos na literatura que utilizam outros modelos para tal fim.

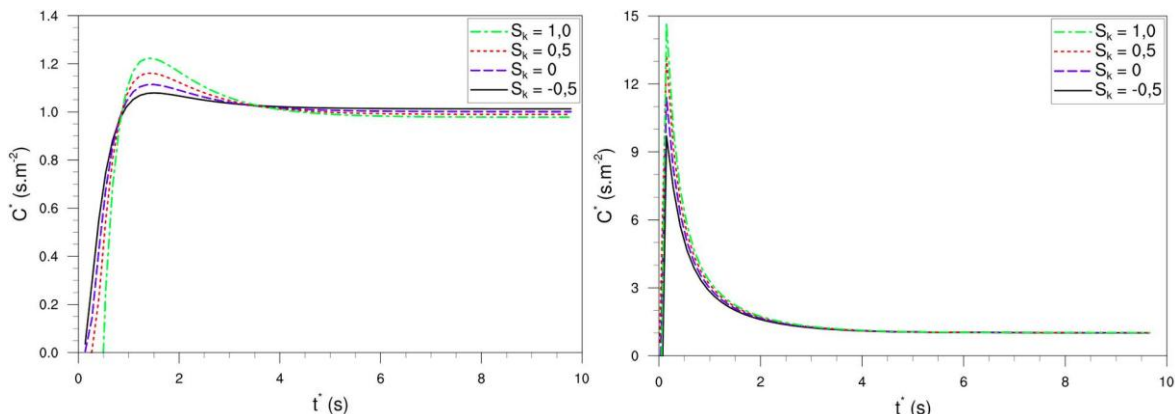


Figura 1: Concentração de poluentes em função do tempo para diferentes assimetrias em $z^* = 0,001$ e $H_s^* = 0,37$ (Figura da esquerda) e $H_s^* = 0,03$ (Figura da direita).

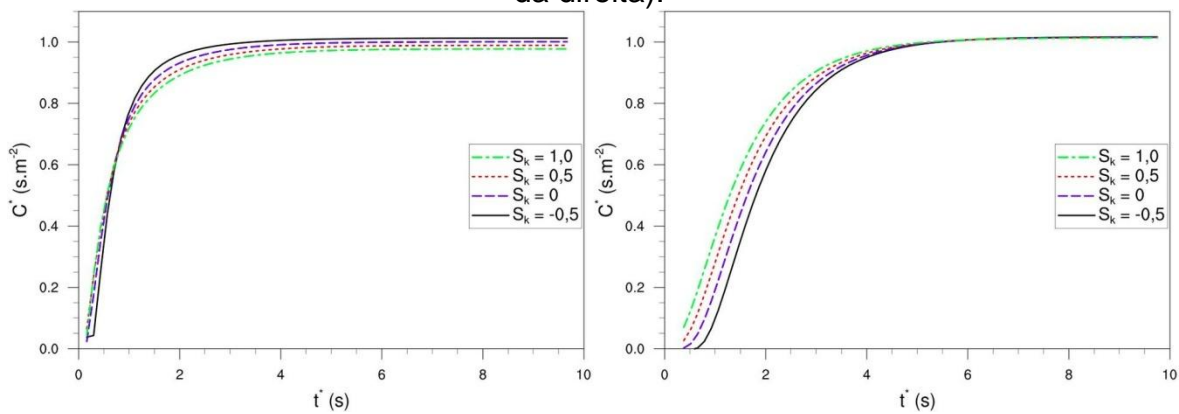


Figura 2: Concentração de poluentes em função do tempo para diferentes assimetrias em $z^* = 0,925$ e $H_s^* = 0,37$ (Figura da esquerda) e $H_s^* = 0,03$ (Figura da direita).

4. CONCLUSÕES

A concentração de poluentes é simulada de forma satisfatória considerando o termo de fechamento não local da turbulência. O modelo simula as concentrações de poluentes de acordo com outros resultados obtidos na literatura e se torna uma ferramenta atrativa por apresentar uma solução analítica do problema. Assim, o presente modelo pode ser utilizado para aplicações regulatórias da qualidade do ar.

5. REFERÊNCIAS BIBLIOGRÁFICAS

BUSKE, D.; VILHENA, M.; TIRABASSI, T.; BODMANN, B. Air pollution steady-state advection-diffusion equation: the general three-dimensional solution. **Journal of Environmental Protection**. v.4, 1-10, 2012.

BULIGON, L.; VILHENA, M. T. M. B; MOREIRA, D. M. Uma solução semi-analítica da dispersão de poluentes com a equação do telégrafo e fluxo contra-gradiente. **Revista Brasileira de Meteorologia**, v. 21, 77-85, 2006.

GRYNING, S. E.; LICK, E. Atmospheric Dispersion from Elevated Sources in an Urban Area: Comparison between Tracer Experiments and Model Calculations. **Journal of Applied Meteorology**, v. 23, 651-654, 1984.